СИНТЕЗ И СТРОЕНИЕ КОМПЛЕКСОВ ПАЛЛАДИЯ [Ph₃PCH₂C₆H₄CN-4][PdCl₃(dmso-S)], [Ph₃PCH₂C₆H₄F-4]₂ [Pd₂Br₆], [Ph₃PEt]₃ [PdBr₄] [Br] · 2H₂O

В.В. Шарутин[™], В.С. Сенчурин

Южно-Уральский государственный университет, Челябинск, Россия [™] sharutin50 @mail.ru

Аннотация. Из галогенида тетраорганилфосфония и дигалогенида палладия в присутствии соляной или бромоводородной кислоты получены ионные комплексы палладия с моно- и биядерными анионами: [Ph₃PCH₂C₆H₄CN-4][PdCl₃(dmso-S)] (1), [Ph₃PCH₂C₆H₄F-4]₂ [Pd₂Br₆] (2) и сольват $[Ph_3PEt]_3$ $[PdBr_4]$ $[Br] \cdot 2H_2O$ (3), строение которых установлено методом рентгеноструктурного анализа (РСА). РСА проводили при 293 К на автоматическом четырехкружном дифрактометре D8 Quest Bruker (двухкоординатный ССD – детектор, Мо $K_{\rm q}$ -излучение, $\lambda = 0,71073$ Å, графитовый монохроматор). Кристаллографические характеристики кристалла $1 [C_{28}H_{27}NOPSCl_3Pd,$ M 669,29; сингония моноклинная, группа симметрии $P2_1$; параметры ячейки: a=11,297(9), b = 34,39(2), c = 12,303(9) Å; $\beta = 91,18(3)$ град.; V = 4779(6) Å³; размер кристалла $0,52 \times 0,31 \times 0,16$ мм; интервалы индексов отражений $-12 \le h \le 12$, $-36 \le k \le 36$, $-13 \le l \le 13$; всего отражений 82462; независимых отражений 12017; R_{int} 0,0293; GOOF 1,085; $R_1 = 0,0520$, $wR_2 = 0,1473$; остаточная электронная плотность $2,32/-0,61 \text{ e/Å}^3$], $2 [C_{50}H_{42}F_2P_2Br_6Pd_2, M 1435,04;$ сингония триклинная, группа симметрии P-1; параметры ячейки: $a=8,952(19),\ b=16,34(4),\ c=16,63(4)$ Å; $\alpha=89,45(10)^\circ,$ $\beta = 89,70(8)^{\circ}, \gamma = 83,56(16)^{\circ}; V = 2417(9) \text{ Å}^3;$ размер кристалла $0,32 \times 0,32 \times 0,23$ мм; интервалы индексов отражений $-11 \le h \le 11$, $-21 \le k \le 21$, $-21 \le l \le 21$; всего отражений 59198; независимых отражений 10998; R_{int} 0,1009; GOOF 1,124; $R_1 = 0,1378$, $wR_2 = 0,3138$; остаточная электронная плотность 1,56/-1,94 e/Å³], 3 [C₆₀H₆₄Br₅O₂P₃Pd, M 1415,97; сингония ромбическая, группа симметрии $Pna2_1$; параметры ячейки: a = 26.86(5), b = 17.39(3), c = 12.87(3) Å; $\alpha = \beta = \gamma = 90.00^{\circ}$; V = 6012(21) Å³; размер кристалла $0.58 \times 0.16 \times 0.14$ мм; интервалы индексов отражений $-35 \le h \le 36, -23 \le k \le 23,$ $-17 \le l \le 17$; всего отражений 132816; независимых отражений 14848; R_{int} 0,1346; GOOF 1,189; $R_1 = 0.1154$, $wR_2 = 0.2952$; остаточная электронная плотность 6.84/-3.24 e/Å³]. Атомы фосфора в трех кристаллографически независимых катионах 1 имеют мало искаженную тетраэдрическую координацию с валентными углами СРС 106,6(8)-112,1(5)°, которые мало отличаются от теоретического значения, и близкими длинами связей P-C [1,773(9)-1,811(16) Å]. В трех кристаллографически независимых плоскоквадратных анионах [PdCl₃(dmso-S)]⁻ длины связей Pd-Cl изменяются в интервалах 2,292(3)-2,318(3), а расстояния S-Pd [2,229(6)-2,261(2) Å] меньше суммы ковалентных радиусов атомов палладия и серы (2,44 Å). Huc-углы ClPdCl $[89,27(3)-90,38(3)^{\circ}]$ практически не отличаются от теоретического значения; величины *mpaнc*-углов ClPdCl [177,49(4)-178,39(4)°] и SPdCl [174,37(4)°-177,71(4)°] сравнимы между собой. Отклонения атомов палладия от плоскостей Cl₃S незначительно и составляет 0,064-0,066 Å. Структурная организация в кристалле комплекса 1 сформирована межионными контактами Pd-Cl···H-C (2,62-2,95 Å) и CN···H-C (2,54-2,75 Å). Геометрические параметры катионов в комплексах 2 и 3 сравнимы с наблюдаемыми в комплексе 1. В кристалле 2 присутствуют два типа кристаллографически независимых центросимметричных биядерных анионов $[Pd_2Br_6]^{2-}$, в которых атомы палладия связаны друг с другом посредством двух μ_2 мостиковых атомов брома, причем расстояния Pd-Br_{мост} [2,433(6)-2,460(6) Å] несколько короче терминальных связей Pd– $Br_{\text{терм}}$ [2,379(6)–2,399(6) Å]. Значения валентных углов $PdBr_{\text{мост}}Pd$ и $Br_{\text{терм}}PdBr_{\text{мост}}$ в анионе **2** составляют 85,93(13)–94,12(13)° и 90,44(18), 90,86(16)° соответственно. Кристалл 3 состоит из трех типов кристаллографически независимых катионов этилтрифенилфосфония, квадратных тетрабромпалладат-анионов и бром-анионов с гидратными молекулами воды, которые посредством водородных связей Br···H (2,78-3,04 Å) и Br···O (3,264 Å) структурируют кристалл в единое целое. Полные таблицы координат атомов, длин связей и валентных углов для структур депонированы в Кембриджском банке структурных данных (№ 1898994 (1), 2115220 (2), 2177801 (3); deposit@ccdc.cam.ac.uk; https://www.ccdc.cam.ac.uk).

[©] Шарутин В.В., Сенчурин В.С., 2025.

Ключевые слова: комплекс палладия(II), алкилтрифенилфосфониевый катион, диметилсульфоксидотрихлорпалладат-, гексабромдипалладат-, тетрабромпалладат-анион, бром-анион, синтез, строение, рентгеноструктурные исследования

Для цитирования: Шарутин В.В., Сенчурин В.С. Синтез и строение комплексов палладия [Ph₃PCH₂C₆H₄CN-4][PdCl₃(dmso-S)], [Ph₃PCH₂C₆H₄F-4]₂ [Pd₂Br₆], [Ph₃PEt]₃ [PdBr₄] [Br] · 2H₂O // Вестник ЮУрГУ. Серия «Химия». 2025. Т. 17, № 3. С. 71–79. DOI: 10.14529/chem250306

Original article

DOI: 10.14529/chem250306

SYNTHESIS AND STRUCTURE OF PALLADIUM COMPLEXES [Ph₃PCH₂C₆H₄CN-4][PdCl₃(dmso-S)], [Ph₃PCH₂C₆H₄F-4]₂ [Pd₂Br₆], AND [Ph₃PEt]₃ [PdBr₄] [Br] · 2H₂O

V.V. Sharutin[™], V.S. Senchurin South Ural State University, Chelyabinsk, Russia [™] sharutin50@mail.ru

> Abstract. Ionic palladium complexes with mono- and binuclear anions [Ph₃PCH₂C₆H₄CN-4][PdCl₃(dmso-S)] (1), [Ph₃PCH₂C₆H₄F-4]₂ [Pd₂Br₆] (2), and [Ph₃PEt]₃[PdBr₄][Br] \cdot 2H₂O (3) were obtained from tetraorganylphosphonium halide and palladium dihalide in the presence of hydrochloric or hydrobromic acid. The structure of these complexes was established by X-ray diffraction analysis (XRD). XRD was performed at 293 K_{α} on a D8 Quest Bruker automatic four-circle diffractometer (twocoordinate CCD detector, Mo K α radiation, $\lambda = 0.71073$ Å, graphite monochromator). Crystallographic characteristics of crystal 1 [C₂₈H₂₇NOPSCl₃Pd, M 669.29; monoclinic syngony, symmetry group P2₁; cell parameters: a = 11.297(9), b = 34.39(2), c = 12.303(9) Å; $\beta = 91.18(3)^\circ$; V = 4779(6) Å³; crystal size $0.52 \times 0.31 \times 0.16$ mm; reflection index ranges $-12 \le h \le 12$, $-36 \le k \le 36$, $-13 \le l \le 13$; total reflections 82462; independent reflections 12017; R_{int} 0.0293; GOOF 1.085; $R_1 = 0.0520$, $wR_2 = 0.1473$; residual electron density $2.32/-0.61 \text{ e/Å}^3$], $2 \left[C_{50}H_{42}F_2P_2Br_6Pd_2, M 1435.04; \text{ triclinic syngony, symmetry group } P-1;\right]$ cell parameters: a = 8.952(19), b = 16.34(4), c = 16.63(4) Å; $\alpha = 89.45(10)^{\circ}$, $\beta = 89.70(8)^{\circ}$, $\gamma = 83.56(16)^{\circ}$; $V = 2417(9) \text{ Å}^3$; crystal size $0.32 \times 0.32 \times 0.23 \text{ mm}$; reflection index ranges $-11 \le h \le 11$, $-21 \le k \le 21$, $-21 \le l \le 21$; total reflections 59198; independent reflections 10998; R_{int} 0.1009; GOOF 1.124; $R_1 = 0.1378$, $wR_2 = 0.3138$; residual electron density 1.56/-1.94 e/Å³], **3** [C₆₀H₆₄Br₅O₂P₃Pd, M 1415.97; orthorhombic syngony, symmetry group Pna21; cell parameters: a = 26.86(5), b = 17.39(3), $c = 12.87(3) \text{ Å}; \ \alpha = \beta = \gamma = 90.00^{\circ}; \ V = 6012(21) \text{ Å}^{3}; \ \text{crystal size } 0.58 \times 0.16 \times 0.14 \text{ mm}; \ \text{reflection index}$ ranges $-35 \le h \le 36$, $-23 \le k \le 23$, $-17 \le l \le 17$; total reflections 132816; independent reflections 14848; R_{int} 0.1346; GOOF 1.189; $R_1 = 0.1154$, $wR_2 = 0.2952$; residual electron density 6.84/-3.24 e/Å³]. The phosphorus atoms in three crystallographically independent cations 1 have a slightly distorted tetrahedral coordination with the CPC bond angles of 106.6(8)-112.1(5)°, which are little different from the theoretical value, and the close P-C bond lengths [1.773(9)-1.811(16) Å]. In three crystallographically independent square-planar anions [PdCl₃(dmso-S)]⁻, the Pd-Cl bond lengths vary in the ranges 2.292(3)-2.318(3), while the S-Pd distances [2.229(6)-2.261(2) Å] are less than the sum of the covalent radii of the palladium and sulfur atoms (2.44 Å). The CIPdCl cis-angles [89.27(3)-90.38(3)°] are practically the same as the theoretical value; the ClPdCl trans-angles [177.49(4)°-178.39(4)°] and the SPdCl angles [174.37(4)°-177.71(4)°] are comparable. The deviations of the palladium atoms from the Cl₃S planes are insignificant and amount to 0.064–0.066 Å. The structural organization in the crystal 1 is formed by the Pd-Cl···H-C and CN···H-C interionic contacts (2.62-2.95 Å and 2.54-2.75 Å). The geometric parameters of the cations in complexes 2 and 3 are comparable with those observed in complex 1. Crystal 2 contains two types of crystallographically independent centrosymmetric binuclear anions $[Pd_2Br_6]^{2-}$, in which the palladium atoms are linked to each other via two μ_2 -bridging bromine atoms, with the Pd-Br_{bridge} distances [2.433(6)-2.460(6) Å] being somewhat shorter than the terminal Pd-Br_{term} bonds [2.379(6)-2.399(6) Å]. The values of the PdBr_{brid}Pd and Br_{term}PdBr_{bridee} bond angles in anion 2 are 85.93(13)-94.12(13)° and 90.44(18), 90.86(16)°, respectively. Crystal 3 consists of three types of crystallographically independent ethyltriphenylphosphonium cations, square tetrabromopalladate anions and bromine anions with hydrated water molecules, which structure the crystal into a whole via the

Br···H (2.78–3.04 Å) and Br···O (3.264 Å) hydrogen bonds. Complete tables of atomic coordinates, bond lengths and bond angles for the structures have been deposited with the Cambridge Crystallographic Data Centre (No. 1898994 (1), No. 2115220 (2), No. 2177801 (3); deposit@ccdc.cam.ac.uk; https://www.ccdc.cam.ac.uk).

Keywords: palladium(II) complex, alkyltriphenylphosphonium cation, dimethylsulfoxidotrichloropalladate, hexabromodipalladate, tetrabromopalladate anion, bromide anion, synthesis, structure, X-ray structural studies

For citation: Sharutin V.V., Senchurin V.S. Synthesis and structure of palladium complexes $[Ph_3PCH_2C_6H_4CN-4][PdCl_3(dmso-S)]$, $[Ph_3PCH_2C_6H_4F-4]_2$ $[Pd_2Br_6]$, and $[Ph_3PEt]_3$ $[PdBr_4]$ $[Br] \cdot 2H_2O$. Bulletin of the South Ural State University. Ser. Chem. 2025;17(3): 71–79. (In Russ.) DOI: 10.14529/chem250306

Введение

Известно, что комплексы палладия широко применяются в реакциях органического и элементоорганического синтеза [1–15]. В настоящее время интенсивно изучаются структурные особенности координационных соединений палладия. Многочисленные структурно охарактеризованные ионные галогенсодержащие комплексы палладия в основном представлены моноядерными $[Pd_2Hal_4]^{2-}$ и, в меньшей степени, биядерными $[Pd_2Hal_6]^{2-}$ анионами [16]. Влияние растворителей на дизайн Pd-содержащих анионов, а также взаимных превращений анионов друг в друга в различных растворителях исследовалось в работе [17]. Ранее сообщалось о синтезе комплексов палладия с S-координированной молекулой диметилсульфоксида в моноядерных анионах $[PdHal_3](dmso-S)$ [18–31].

В продолжение изучения реакций галогенидов палладия с галогенидами органилтрифенилфосфония в присутствии галоидоводородной кислоты мы получили три ионных комплекса палладия [$Ph_3PCH_2C_6H_4CN-4$][$PdCl_3(dmso-S)$], [$Ph_3PCH_2C_6H_4F-4$]2 [Pd_2Br_6] и [Ph_3PEt]3 [$PdBr_4$] [Br] · 2 H_2O и исследовали их строение.

Экспериментальная часть

Элементный анализ на С и Н выполнен на элементном анализаторе Carlo Erba CHNS-O FA 1108

ИК-спектр комплексов записывали на ИК-Фурье спектрометре Shimadzu IRAffinity-1S в таблетке KBr в области $4000-400 \text{ см}^{-1}$.

Рентгеноструктурный анализ (РСА) кристаллов комплексов проведен на автоматическом четырехкружном дифрактометре D8 QUEST фирмы Bruker (Мо K_{α} -излучение, $\lambda=0,71073$ Å, графитовый монохроматор). Сбор, редактирование данных и уточнение параметров элементарной ячейки, а также учет поглощения проведены с помощью программ SMART и SAINT-Plus [32]. Все расчеты по определению и уточнению структур выполнены с помощью программ SHELXL/PC [33], OLEX2 [34]. Структуры определены прямым методом и уточнены методом наименьших квадратов в анизотропном приближении для неводородных атомов. Положение атомов водорода уточняли по модели наездника ($U_{u30}(H)=1,2U_{3кв}(C)$). Кристаллографические данные и результаты уточнения структур приведены в табл. 1, геометрические характеристики координационного полиэдра атома сурьмы — в табл. 2. Полные таблицы координат атомов, длин связей и валентных углов депонированы в Кембриджском банке структурных данных (No. 1898994 (1), No. 2115220 (2), No. 2177801 (3); deposit@ccdc.cam.ac.uk; http://www.ccdc.cam.ac.uk).

[**Ph₃PCH₂C₆H₄CN-4**]⁺[**PdCl₃(dmso-S**)]⁻ (1). 0,100 г (0,36 ммоль) дихлорида палладия растворяли в избытке хлороводородной кислоты и при перемешивании прибавляли к горячему раствору 0,15 г (0,36 ммоль) хлорида 4-цианобензилтрифенилфосфония в 15 мл горячей воды. Выпавший осадок темно-коричневого цвета фильтровали и сушили, затем растворяли в 5 мл диметилсульфоксида и после испарения растворителя выделяли коричневые кристаллы комплекса **1** с т. разл. 168 °C, выход 75 %. ИК-спектр (ν , см⁻¹): 3055, 3019, 3003, 2918, 2882, 2230, 1605, 1585, 1506, 1483, 1437, 1416, 1315, 1113, 1024, 856, 845, 831, 752, 741, 721, 691, 561, 530, 501, 469, 446, 424. Найдено, %: C 50,26; H 4,13. $C_{28}H_{27}ONSPCl_3Pd$. Вычислено, %: C 50,23; H 4,04.

[Ph₃PCH₂C₆H₄F-4]⁺₂[Pd₂Br₆]²⁻ (2). Получен по аналогичной методике взаимодействием бромида 4-фторбензилтрифенилфосфония с бромидом палладия (II), растворенным в избытке 48%-ной бромоводородной кислоты, с последующей перекристаллизацией из ацетонитрила. Выход 89 %, красно-коричневые кристаллы с т. разл. 218 °C. ИК-спектр (ν , см⁻¹): 3053, 3022, 2949, 2906, 1599, 1585, 1508, 1483, 1437, 1398, 1225, 1161, 1109, 995, 843, 833, 770, 746, 689, 554, 515, 503, 480, 442. Найдено, %: С 41,80, H 3,01. С₅₀H₄₂F₂P₂Br₆Pd₂. Вычислено, %: С 41,84, H 2,93.

 $[\mathbf{Ph_3PEt}]^+_3[\mathbf{PdBr_4}]^2[\mathbf{Br}]^- \cdot \mathbf{2} \ \mathbf{H_2O} \ (3)$. Красно-коричневые кристаллы **3** получали аналогично (81 %, т. разл. 234 °C). ИК-спектр (ν , см $^-$): 3503, 3404, 3092, 3075, 3053, 3036, 3007, 2982, 2928, 2899, 1585, 1483, 1437, 1115, 1030, 995, 754, 741, 726, 689, 532, 511, 478, 451. Найдено, %: C 50,80, H 4,59. $\mathbf{C}_{60}\mathbf{H}_{64}\mathbf{O}_2\mathbf{P}_3\mathbf{Br}_5\mathbf{Pd}$. Вычислено, %: C 50,89, H 4,52.

Таблица 1 Кристаллографические данные, параметры эксперимента и уточнения структур 1–3

Параметр	1	2	3
Формула	C ₂₈ H ₂₇ NOPSCl ₃ Pd	$C_{50}H_{42}F_2P_2Br_6Pd_2$	$C_{60}H_{64}Br_5O_2P_3Pd$
M	669,29	1435,04	1415,97
<i>T</i> , K	293	293	293
Сингония	Моноклинная	Триклинная	Ромбическая
Пр. группа	$P2_1$	P-1	$Pna2_1$
a, Å	11,297(9)	8,952(19)	26,86(5)
b, Å	34,39(2)	16,34(4)	17,39(3)
c, Å	12,303(9)	16,63(4)	12,87(3)
lpha, град.	90,00	89,45(10)	90,00
eta, град.	91,18(3)	89,70(8)	90,00
γ, град.	90,00	83,56(16)	90,00
V, Å ³	4779(6)	2417(9)	6012(21)
Z	4	2	4
$ ho_{ ext{\tiny BЫЧ}}, \ \Gamma/ ext{cm}^3$	0,930	1,972	1,565
μ , MM^{-1}	0,647	5,812	3,752
F(000)	1352,0	1384,0	2824,0
Размер кристалла, мм	$0,52 \times 0,31 \times 0,16$	$0,32 \times 0,32 \times 0,23$	$0,58 \times 0,16 \times 0,14$
Область сбора данных по 20, град.	5,78-44,58	5,98-57,46	5,58-56,64
Интервалы индексов отражений	$-12 \le h \le 12$,	$-11 \le h \le 12$,	$-35 \le h \le 35$,
	$-36 \le k \le 36$,	$-21 \le k \le 21$,	$-23 \le k \le 23$,
	$-13 \le l \le 13$	$-21 \le l \le 21$	$-17 \le l \le 17$
Измерено отражений	82462	59198	132816
Независимых отражений	12017	10998	14848
R_{int}	0,0293	0,1009	0,1346
Переменных уточнения	979	559	654
GOOF	1,085	1,124	1,189
P therefore $P^2 > 2 - P^2$	$R_1 = 0.0520,$	$R_1 = 0.1378,$	$R_1 = 0.1154,$
R -факторы по $F^2 > 2\sigma(F^2)$	$wR_2 = 0.1489$	$wR_2 = 0.3138$	$wR_2 = 0.2952$
R-факторы по всем отражениям	$R_1 = 0.0532,$	$R_1 = 0.1958,$	$R_1 = 0.1704,$
	$wR_2 = 0.1489$	$wR_2 = 0.3377$	$wR_2 = 0.3415$
Остаточная электронная плотность (min/max), e/A^3	2,32/-0,61	1,56/-1,94	6,84/-3,24

Длины связей и валентные углы в соединениях 1–3

Связь	d, Å	Угол	ω, град.		
1					
Pd(1)–S(1)	2,261(4)	S(1)Pd(1)Cl(2)	177,73(15)		
Pd (1)-Cl(2)	2,306(4)	S(1)Pd(1)Cl(1)	91,51(13)		
Pd (1)–Cl(1)	2,306(3)	S(1)Pd(1)Cl(3)	89,69(17)		
Pd (1)-Cl(3)	2,310(5)	Cl(2)Pd(1)Cl(1)	89,62(13)		

Окончание табл. 2

Связь	d, Å	Угол	ω, град.
S(1)–O(1)	1,416(12)	Cl(2)Pd(1)Cl(3)	89,26(18)
S(1)–C(8)	1,79(2)	Cl(1)Pd(1)Cl(3)	177,48(17)
S(1)-C(7)	1,565(19)	C(11)P(1)C(21)	110,0(4)
P(1)–C(11)	1,789(9)	C(11)P(1)C(37)	110,4(4)
P(1)–C(1)	1,773(9)	C(1)P(1)C(11)	109,6(4)
P(1)–C(21)	1,810(9)	C(1)P(1)C(37)	110,9(4)
P(1)-C(37)	1,810(9)	C(37)P(1)C(21)	106,4(4)
. , , ,		2	• • • • • • • • • • • • • • • • • • • •
Pd (1)–Br(1)	2,439(6)	Br(1)Pd(1)Br(1 ¹)	85,88(13)
Pd (1)–Br(1 ¹)	2,460(6)	Br(2)Pd(1)Br(1)	92,80(16)
Pd(1)-Br(2)	2,408(6)	$Br(2)Pd(1)Br(1^1)$	178,56(15)
Pd(1)-Br(3)	2,379(6)	Br(3)Pd(1)Br(1)	176,47(15)
$Br(1)-Pd(1^1)$	2,460(6)	Br(3)Pd(1)Br(1 ¹)	90,86(16)
Pd(2)-Br(4)	2,433(6)	Br(3)Pd(1)Br(2)	90,44(18)
Pd(2)-Br(4 ²)	2,450(6)	Pd(1)Br(1)Pd(1 ¹)	94,12(13)
Pd(2)–Br(6)	2,381(6)	$Br(4)Pd(2)Br(4^2)$	85,93(13)
Pd(2)–Br(5)	2,399(6)	Br(6)Pd(2)Br(4 ²)	90,76(16)
$Br(4)-Pd(2^2)$	2,450(6)	Br(6)Pd(2)Br(4)	176,54(15)
P(1)-C(37)	1,767(18)	Br(6)Pd(2)Br(5)	90,78(17)
P(1)-C(21)	1,777(17)	Br(5)Pd(2)Br(4)	92,51(15)
P(1)–C(11)	1,769(16)	Br(5)Pd(2)Br(4 ²)	178,23(14)
P(1)–C(1)	1,801(17)	$Pd(2)Br(4)Pd(2^{2})$	94,07(13)
Преобразования симметрии:	$2-x, -y, -z; ^2-x, 1-y,$	1-z;	
•		3	
Pd (1)–Br(4)	2,483(4)	Br(3)Pd(1)Br(4)	90,31(18)
Pd (1)–Br(3)	2,444(4)	Br(3)Pd(1)Br(1)	179,10(6)
Pd(1)-Br(1)	2,469(4)	Br(1)Pd(1)Br(4)	89,76(19)
Pd(1)–Br(2)	2,442(4)	Br(2)Pd(1)Br(4)	176,47(6)
P(1)–C(11)	1,795(11)	Br(2)Pd(1)Br(3)	89,38(19)
P(1)–C(7)	1,769(11)	Br(2)Pd(1)Br(1)	90,60(18)
P(1)–C(1)	1,795(11)	C(11)P(1)C(1)	112,1(5)
P(1)-C(21)	1,784(10)	C(7)P(1)C(11)	110,9(5)
P(2)-C(9)	1,823(11)	C(7)P(1)C(1)	104,1(5)
P(2)-C(51)	1,799(11)	C(7)P(1)C(21)	111,7(5)
P(2)-C(31)	1,794(10)	C(21)P(1)C(11)	107,9(5)
P(2)-C(41)	1,799(12)	C(21)P(1)C(1)	110,2(5)
P(3)-C(17)	1,792(11)	C(51)P(2)C(9)	106,9(5)
P(3)-C(71)	1,808(11)	C(51)P(2)C(41)	112,1(5)

Обсуждение результатов

Известно, что взаимодействие дигалогенида палладия с галоидоводородной кислотой и галогенидом органилтрифенилфосфония в водном растворе приводило к образованию красно-коричневого мелкодисперсного осадка комплекса палладия, который после перекристаллизации из диметилсульфоксида содержал моноядерные анионы [Hal₃Pd(dmso)]; при перекристаллизации же остатка из ацетонитрила имело место образование комплексов палладия с анионом [PdHal₄] 2 -[17–23]. В растворе диметилформамида образуются также ионные комплексы, содержащие биядерные анионы [19]. В продолжение исследования реакций дигалогенида палладия с галогенидами органилтрифенилфосфония в присутствии галоидоводородной кислоты, мы синтезировали три ионных комплекса палладия [Ph₃PCH₂C₆H₄CN-4][PdCl₃(dmso-S)], [Ph₃PCH₂C₆H₄F-4]₂ [Pd₂Br₆] и [Ph₃PEt]₃ [PdBr₄] [Br] · 2H₂O и исследовали их строение.

Комплексы 1—3 получали из эквимолярных количеств исходных реагентов. Так, комплекс 1, как и ожидалось, был выделен после перекристаллизации продукта реакции из диметилсульфоксида:

1) H_2O/HBr

$$PdCl_{2} + [Ph_{3}PCH_{2}C_{6}H_{4}CN-4]Cl \xrightarrow{2) dmso} [Ph_{3}PCH_{2}C_{6}H_{4}CN-4][PdCl_{3}(dmso-S)]$$

$$\mathbf{1}$$

Комплекс **2** синтезировали из эквимолярных количеств бромида 4-фторбензилтрифенилфосфония и бромида палладия (II), растворенным в избытке 48%-ной бромоводородной кислоты. Перекристаллизация осадка коричневого цвета из ацетонитрила привела к образованию комплекса **2** с выходом 89 %.

$$2 \text{ PdBr}_{2} + 2 [\text{Ph}_{3}\text{PCH}_{2}\text{C}_{6}\text{H}_{4}\text{F}-4]\text{Br} \rightarrow [\text{Ph}_{3}\text{PCH}_{2}\text{C}_{6}\text{H}_{4}\text{F}-4]^{+}_{2}[\text{Pd}_{2}\text{Br}_{6}]^{2-}$$

$$\mathbf{2}$$

Однако реакция бромида этилтрифенилфосфония с дибромидом палладия, проведенная в аналогичных условиях, сопровождалась образованием гидрата комплекса, в состав которого входили два типа анионов:

3 [Ph₃PEt] [Br]⁻ + 3 PdBr₂
$$\rightarrow$$
 [Ph₃PEt]⁺₃[PdBr₄]²⁻[Br]⁻ · 2 H₂O
3

В ИК-спектре комплекса **1** наблюдаются интенсивные полосы поглощения в областях 1440-1435 и 997-995 см⁻¹, которые характеризуют валентные колебания связи $P-C_{Ph}$ [35]. Наблюдаемое смещение полос поглощения связи S=O (1117-1111 см⁻¹) в коротковолновую область по сравнению с несвязанным диметилсульфоксидом (1055 см⁻¹) характерно для подобных комплексов с S-координированным ДМСО [36].

По данным PCA, кристалл комплекса **1** состоят из трех типов кристаллографически независимых тетраэдрических катионов органилтрифенилфосфония и моноядерных квадратных анионов (рис. 1).

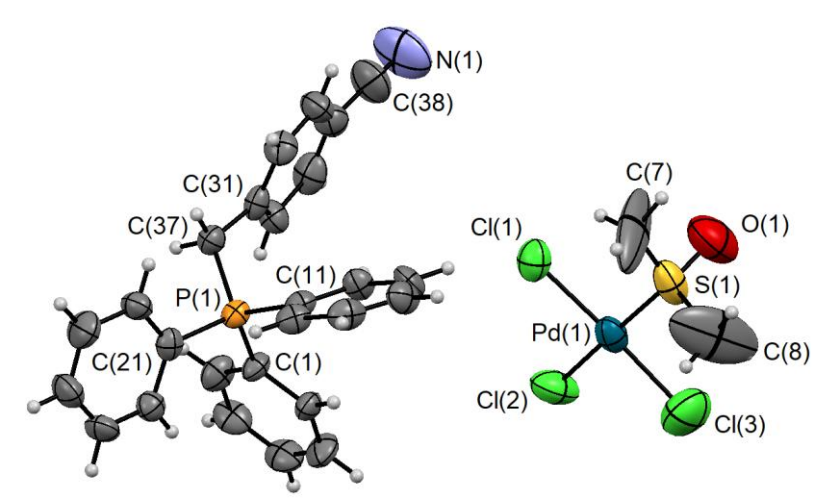


Рис. 1. Строение одной из трех ионных пар комплекса 1

Атомы фосфора в катионах имеют мало искаженную тетраэдрическую координацию с валентными углами СРС 106,6(4)-111,5(4) Å, которые мало отличаются от теоретического значения, и близкими длинами связей P-C [1,773(9)-1,810(9) Å]. В плоскоквадратных анионах $[PdCl_3(dmso)]^-$ длины связей Pd-Cl изменяются в интервалах 2,291(3)-2,318(3) Å, а расстояния S-Pd [2,229(3)-2,230(2) Å] меньше суммы ковалентных радиусов атомов палладия и серы (2,44 Å [37]). μuc -Углы ClPdCl $[89,26(18)^\circ-89,66(11)^\circ]$ практически не отличаются от теоретического значения (90°) ; значения mpahc-углов ClPdCl и SPdCl сравнимы между собой и составляют

177,48(11)°–178,37(11)° и 174,36(9)°–177,73(15)°. В анионах комплекса **1** отклонение атома палладия от плоскости Cl_3S незначительно (0,064–0,066 Å). Структурная организация в кристалле **1** сформирована межионными контактами N···H–C 2,54–2,73 Å и Pd–Cl····H–C 2,66–2,95 Å, что близко к сумме ван-дер-ваальсовых радиусов атомов азота и водорода (2,65 Å), а также хлора и водорода (2,85 Å) [38].

Кристалл комплекса **2** состоит из двух типов кристаллографически независимых катионов 4-фторбензилтрифенилфосфония и центросимметричных биядерных анионов $[Pd_2Br_6]^{2-}$, в которых атомы палладия связаны друг с другом посредством двух μ_2 -мостиковых атомов брома (рис. 2).

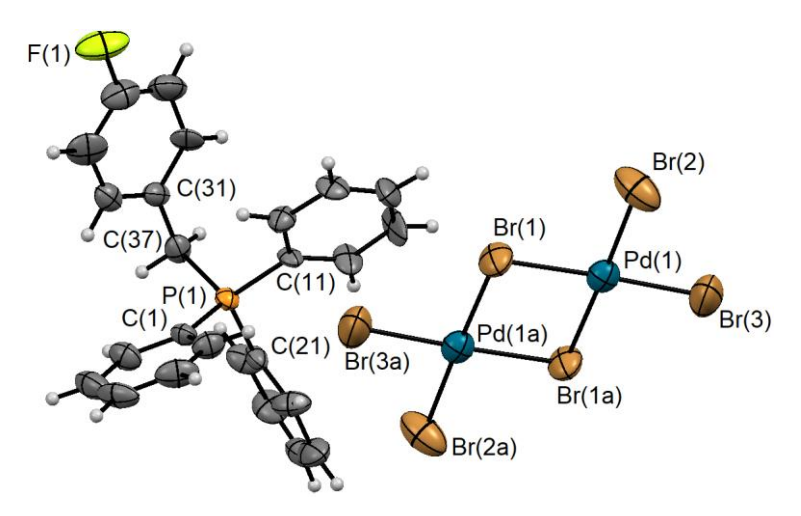


Рис. 2. Строение комплекса 2. Показан один из двух типов кристаллографически независимых катионов

Геометрия тетраэдрических катионов 4-фторбензилтрифенилфосфония обычная (табл. 2). В плоских анионах $[Pd_2Br_6]^{2-}$ комплекса **2** терминальные длины связей Pd– $Br_{\text{терм}}$ [2,379(6)–2,408(6) Å] более прочные, чем мостиковые связи Pd– $Br_{\text{мост}}$ [2,433(6)–2,460(6) Å], что меньше суммы ковалентных радиусов атомов-партнеров (2,59 Å [37]). *Цис*-углы $Br_{\text{терм}}PdBr_{\text{терм}}$ [90,44(18)°, 90,86(16)°] практически не отличаются от теоретического значения (90°); значения *транс*-углов BrPdBr и SPdBr сравнимы между собой и составляют $176,49(15)^\circ-178,55(15)^\circ$. Структурная организация в кристалле **2** сформирована межионными контактами $Br\cdots$ H–C 2,78–3,05 Å, что близко к сумме ван-дер-ваальсовых радиусов атомов брома и водорода (3,48 Å) [38].

Кристалл **3** состоит из трех тетраэдрических кристаллографически независимых катионов этилтрифенилфосфония, одного аниона $[PdBr_4]^{2-}$, бром-аниона и двух молекул сольватной воды (рис. 3).

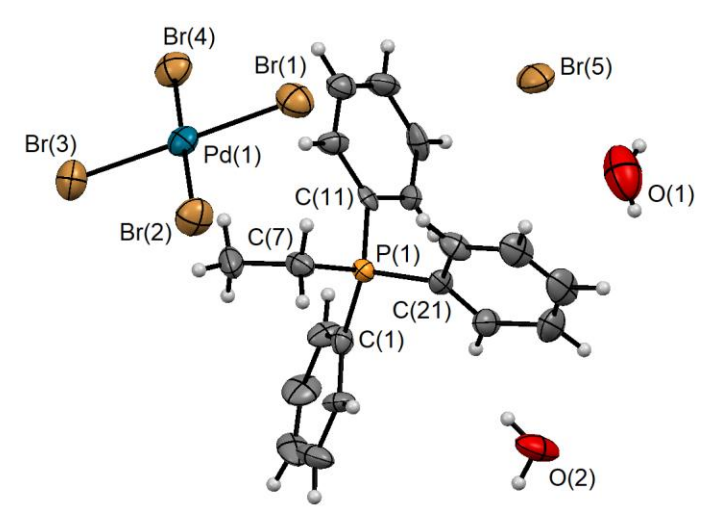


Рис. 3. Строение комплекса 3. Показан один из трех типов кристаллографически независимых катионов

Геометрия катионов этилтрифенилфосфония обычная, в центросимметричном квадратном анионе выход атома палладия из плоскости Br_4 составляет 0.028 Å, а длины связей Pd–Br близки между собой [2,444(4)–2,483(4) Å] и несколько меньше суммы ковалентных радиусов атомов-партнеров. Luc- и mpanc-углы BrPdBr [89,38(19)–90,60(18)° и 176,47(6), 179,10(6)° близки к идеальным значениям. В кристалле 3 наблюдаются опорные контакты между атомами водорода воды и органических заместителей с атомами брома (2,35–3,03 Å).

Выводы

Взаимодействие дигалогенида палладия с галоидоводородной кислотой и галогенидом органилтрифенилфосфония в водном растворе приводило к образованию красно-коричневого мелкодисперсного осадка комплексов палладия, которые после перекристаллизации из диметилсульфоксида превращались в $[Ph_3PCH_2C_6H_4CN-4][PdCl_3(dmso-S)]$, при перекристаллизации же остатка из ацетонитрила имело место образование комплексов палладия $[Ph_3PCH_2C_6H_4F-4]^+_2[Pd_2Br_6]^{2-}$ и гидрата комплекса $[Ph_3PEt]^+_3[PdBr_4]^{2-}[Br]^- \cdot 2 H_2O$. Строение комплексов доказано методом рентгеноструктурного анализа.

Список источников

- 1. *Meyer D.*, *Taige M.A.*, *Zeller A. et al.* // Organometallics. 2009. V. 28, № 7. P. 2142. DOI: 10.1021/om8009238
- 2. Gardiner M.G., Ho C.C., McGuinness D.S. et al. // Austr. J. Chem. 2020, V. 73. P. 1158. DOI: 10.1071/CH20194
- 3. *Gacal E.*, *Denizalti S.*, *Kinal A. et al.* // Tetrahedron. 2018. V. 74, No 47. P. 6829. DOI: 10.1016/j.tet.2018.10.003
- 4. *Mansour W.*, *Fettouhi M.*, *El Ali B.* // ACS Omega. 2020. V. 5, No 50. P. 32515. DOI: 10.1021/acsomega.0c04706
- 5. *Mansour W.*, *Suleiman R.*, *Fettouhi M. et al.* // ACS Omega. 2020. V. 5, No 50. P. 23687. DOI: 10.1021/acsomega.0c02413
- 6. *Trofimov B.A.*, *Vasilevsky S.F.*, *Gusarova N.K. et al.* // Mendeleev Commun. 2008. V. 18, No 6. P. 318. DOI: 10.1016/j.mencom.2008.11.010
- 7. Bykov M.V., Abramov Z.D., Orlov T.S. et al. // J. Struct. Chem. 2021. V. 62, No 8. P. 1218. DOI: 10.1134/S0022476621080072
- 8. Artem'ev A.V., Malysheva S.F., Gusarova N.K. et al. // Tetrahedron. 2016. V. 72, No 4. P. 443. DOI: 10.1016/j.tet.2015.11.009
- 9. *Artem'ev A.V.*, *Kuimov V.A.*, *Matveeva E.A. et al.* // Inorg. Chem. Commun. 2017. V. 86. P. 94. DOI: 10.1016/j.inoche.2017.09.008
- 10. Adamson A., Budiman Y.P., Mkhalid I. et al. // J. Struct. Chem. 2020. V. 61. P. 466. DOI: 10.1134/S0022476620030130
- 11. Wolfe M.M.W., Shanahan J.P., Kampf J.W. et al. // J. Am. Chem. Soc. 2020. V. 142, No 43. P. 18698. DOI: 10.1021/jacs.0c09505
- 12. *Mori M., Sunatsuki Y., Suzuki T. //* Inorg. Chem. 2020. V. 59, No 24. P. 18225. DOI: 10.1021/acs.inorgchem.0c02706
- 13. Behnia A., Fard M.A., Blacquiere J.M. et al. // Organometallics. 2020. V. 39, No 22. P. 4037. DOI: 10.1021/acs.organomet.0c00615
- 14. *Materne K.*, *Braun-Cula B.*, *Herwig C. et al.* // Chem.-Eur. J. 2017. V. 23. P. 11797. DOI: 10.1002/chem.201703489
- 15. *Lin T.-P.*, *Ke I.-Sh.*, *Gabbaï F.P.* // Angew. Chem., Int. Ed. 2012. V. 51. P. 4985. DOI: 10.1002/anie.201200854
- 16. Cambridge Crystallographic Data Center. 2024. (deposit@ccdc.cam.ac.uk; http://www.ccdc.cam.ac.uk).
- 17. *Шарутин В.В., Шарутина О.К., Сенчурин В.С. и др.* // Журн. общ. химии. 2017. Т. 87, № 1. С. 128. EDN: YIXRNJ
- 18. *Шарутин В.В., Сенчурин В.С., Шарутина О.К.* // Журн. неорган. химии. 2013. Т. 58, № 5. С. 616. EDN: PYSJFN

- 19. *Шарутин В.В., Шарутина О.К., Сенчурин В.С. и др.* // Коорд. химия. 2015. Т. 41. № 7. С. 430. EDN: TUCJVX
- 20. *Sharutin V.V.*, *Sharutina O.K.*, *Senchurin V.S. et al.* // Вестник ЮУрГУ. Серия «Химия». 2015. Т. 7, № 2. С. 11. EDN: RRHZSI
- 21. Ярыгина Д.М., Баталов А.Е., Сенчурин В.С. // Вестник ЮУрГУ. Серия «Химия». 2018. Т. 10, № 3. С. 51. DOI: 10.14529/chem180306
- 22. *Шарутин В.В.*, *Шарутина О.К.*, *Сенчурин В.С. и др.* // Журн. неорган. химии. 2018. Т. 63, № 6. С. 712. DOI: 10.7868/S0044457X18060089
- 23. Денисов М.С., Дмитриев М.В., Ерошенко Д.В. и др. // Журн. неорган. химии. 2019. Т. 64, № 1. С. 38. DOI: 10.1134/S0044457X19010057
- 24. Gupta A., Deka R., Butcher R.J. et al. // Acta Cryst. 2020. V. E76. P. 1520. DOI: 10.1107/S2056989020011482
- 25. *Hazell A., McKenzie C.J., Nielsen L.P.* // J. Chem. Soc., Dalton Trans. 1998. P. 1751. DOI: 10.1039/A800602D
- 26. Geary W.J., Mason N.J., Nixon L.A. et al. // Chem. Commun. 1980. No 22. P. 1064. DOI: 10.1039/c39800001064
- 27. Schroeter F., Soellner J., Strassner T. // Chem.-Eur. J. 2019. V. 25. P. 2527. DOI: 10.1002/chem.201804431
- 28. Lang C., Pahnke K., Kiefer C. et al. // Polym. Chem. 2013. V. 4, Iss. 21. P. 5456. DOI: 10.1039/C3PY00648D
- 29. *Шарутин В.В., Сенчурин В.С., Шарутина О.К.* // Вестник ЮУрГУ. Серия «Химия». 2011. № 33 (250). С. 37. EDN: OJSELN
- 30. *Шарутин В.В., Шарутина О.К., Сенчурин В.С.* // Журн. общ. химии. 2022. Т. 92, № 7. С. 1152. EDN: CSPUCR
- 31. *Шарутин В.В., Сенчурин В.С.* // Вестник ЮУрГУ. Серия «Химия». 2022. Т. 14, № 2. С. 52. DOI: 10.14529/chem220206
- 32. Bruker. SMART and SAINT-Plus. Versions 5.0. Data Collection and Processing Software for the SMART System. Bruker AXS Inc., Madison, Wisconsin, USA, 1998.
- 33. Bruker. SHELXTL/PC. Versions 5.10. An Integrated System for Solving, Refining and Displaying Crystal Structures from Diffraction Data. Bruker AXS Inc., Madison, Wisconsin, USA, 1998.
- 34. Dolomanov O.V., Bourhis L.J., Gildea R.J. et al. // J. Appl. Cryst. 2009, V. 42. P. 339. DOI: 10.1107/S0021889808042726
- 35. Преч Э., Бюльманн Ф., Аффольтер К. Определение строения органических соединений. Таблицы спектральных данных / пер. с англ. Б.Н. Тарасевича. М.: Мир; БИНОМ. Лаборатория знаний, 2006. 438 с.
- 36. Кукушкин Ю.Н. Химия координационных соединений: учебное пособие для студентов хим. и хим.-технол. спец. вузов. М.: Высшая школа, 1985. С. 162.
- 37. Cordero B., Gómez V., Platero-Prats A.E. et al. // Dalton Trans. 2008. V. 21. P. 2832. DOI: 10.1039/B801115J.
- 38. *Mantina M., Chamberlin A.C., Valero R. et al.* // J. Phys. Chem. A. 2009. V. 113, No. 19. P. 5806. DOI: 10.1021/jp8111556

Шарутин Владимир Викторович – доктор химических наук, профессор, главный научный сотрудник управления научной и инновационной деятельности, Южно-Уральский государственный университет, Челябинск, Россия. E-mail: sharutin50@mail.ru

Сенчурин Владислав Станиславович – доктор химических наук, профессор кафедры теоретической и прикладной химии, Южно-Уральский государственный университет, Челябинск, Россия. E-mail: senchurinvs@susu.ru

Cmamья поступила в редакцию 31 марта 2025 г. The article was submitted 31 March 2025.